

Pruebas no paramétricas

Notas

Salida creada	05-SEP-2024 12:43:26	
Comentarios		
Entrada	Conjunto de datos activo	ConjuntoDatos17
	Filtro	<ninguno>
	Ponderación	<ninguno>
	Segmentar archivo	<ninguno>
	N de filas en el archivo de datos de trabajo	400
Sintaxis	NPTESTS /RELATED TEST (iwSSIM_BS iwSSIM_KM iwSSIM_MC iwSSIM_WU iwSSIM_OC iwSSIM_VB iwSSIM_NQ) /MISSING SCOPE=ANALYSIS USERMISSING=EXCLUDE /CRITERIA ALPHA=0.05 CILEVEL=95.	
Recursos	Tiempo de procesador	00:00:00,89
	Tiempo transcurrido	00:00:00,87

Resumen de contrastes de hipótesis

	Hipótesis nula	Prueba	Sig. ^{a,b}
1	Las distribuciones de iw-SSIM_BS, iw-SSIM_KM, iw-SSIM_MC, iw-SSIM_WU, iw-SSIM_OC, iw-SSIM_VB y iw-SSIM_NQ son iguales.	Prueba de Friedman para muestras relacionadas para análisis de la varianza de dos factores por rangos	,000

Resumen de contrastes de hipótesis

	Decisión
1	Rechace la hipótesis nula.

a. El nivel de significación es de ,050.

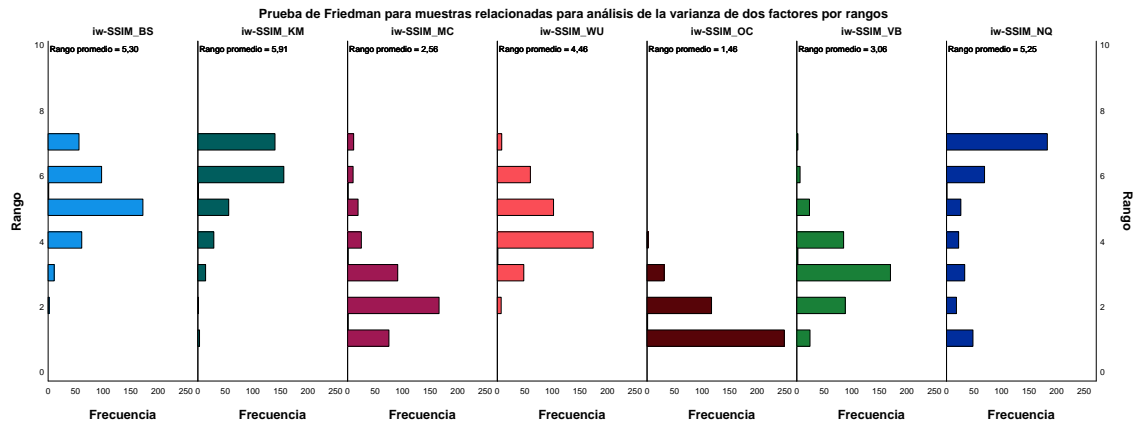
b. Se muestra la significancia asintótica.

Prueba de Friedman para muestras relacionadas para análisis de la varianza de dos factores por rangos

iw-SSIM_BS, iw-SSIM_KM, iw-SSIM_MC, iw-SSIM_WU, iw-SSIM_OC, iw-SSIM_VB, iw-SSIM_NQ

Resumen de la prueba de Friedman para muestras relacionadas para análisis de la varianza de dos factores por rangos

N total	400
Estadístico de prueba	1417,900
Grado de libertad	6
Sig. asintótica (prueba bilateral)	,000



Comparaciones por parejas

Sample 1-Sample 2	Estadístico de prueba	Error estándar	Estadístico de prueba estándar	Sig.	Sig. ajust. ^a
iw-SSIM_OC-iw-SSIM_MC	1,093	,153	7,152	<,001	,000
iw-SSIM_OC-iw-SSIM_VB	-1,591	,153	-10,417	,000	,000
iw-SSIM_OC-iw-SSIM_WU	2,995	,153	19,607	,000	,000
iw-SSIM_OC-iw-SSIM_NQ	-3,790	,153	-24,811	,000	,000
iw-SSIM_OC-iw-SSIM_BS	3,838	,153	25,122	,000	,000
iw-SSIM_OC-iw-SSIM_KM	4,448	,153	29,116	,000	,000
iw-SSIM_MC-iw-SSIM_VB	-,499	,153	-3,265	,001	,023
iw-SSIM_MC-iw-SSIM_WU	-1,902	,153	-12,455	,000	,000
iw-SSIM_MC-iw-SSIM_NQ	-2,697	,153	-17,659	,000	,000
iw-SSIM_MC-iw-SSIM_BS	2,745	,153	17,970	,000	,000
iw-SSIM_MC-iw-SSIM_KM	3,355	,153	21,964	,000	,000
iw-SSIM_VB-iw-SSIM_WU	1,404	,153	9,190	,000	,000
iw-SSIM_VB-iw-SSIM_NQ	-2,199	,153	-14,394	,000	,000
iw-SSIM_VB-iw-SSIM_BS	2,246	,153	14,705	,000	,000
iw-SSIM_VB-iw-SSIM_KM	2,856	,153	18,699	,000	,000
iw-SSIM_WU-iw-SSIM_NQ	-,795	,153	-5,204	<,001	,000
iw-SSIM_WU-iw-SSIM_BS	,843	,153	5,515	<,001	,000
iw-SSIM_WU-iw-SSIM_KM	1,453	,153	9,509	,000	,000
iw-SSIM_NQ-iw-SSIM_BS	,048	,153	,311	,756	1,000

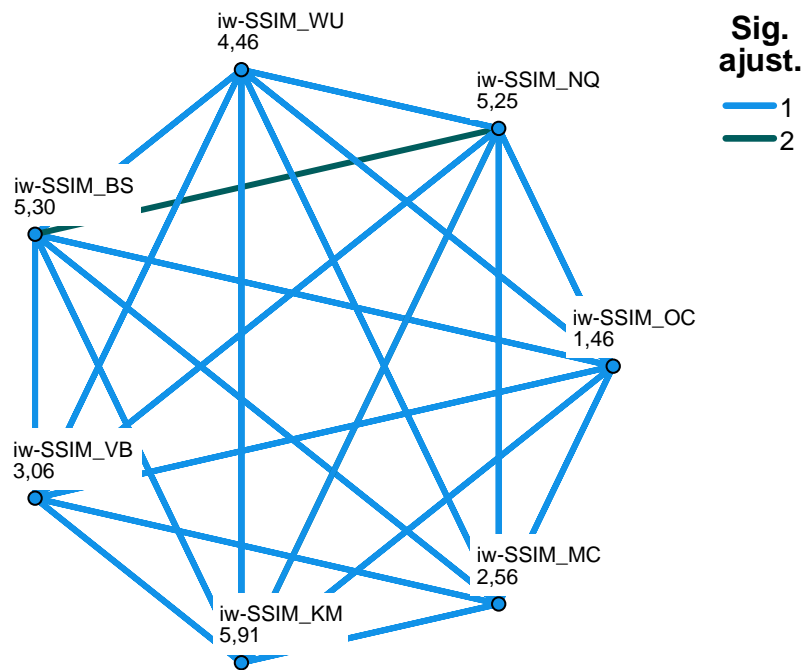
Comparaciones por parejas

Sample 1-Sample 2	Estadístico de prueba	Error estándar	Estadístico de prueba estándar	Sig.	Sig. ajust. ^a
iw-SSIM_NQ-iw-SSIM_KM	,658	,153	4,304	<,001	,000
iw-SSIM_BS-iw-SSIM_KM	-,610	,153	-3,993	<,001	,001

Cada fila prueba la hipótesis nula que las distribuciones de la Muestra 1 y la Muestra 2 son iguales. Se visualizan las significaciones asintóticas (pruebas bilaterales). El nivel de significación es de ,050.

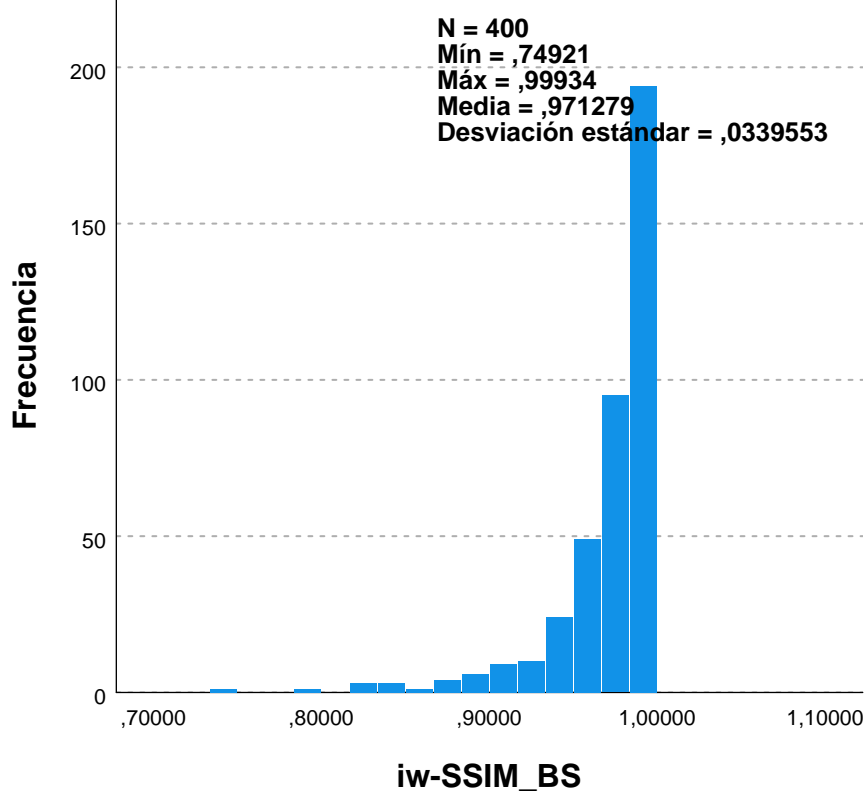
a. Los valores de significación se han ajustado mediante la corrección Bonferroni para varias pruebas.

Comparaciones por parejas

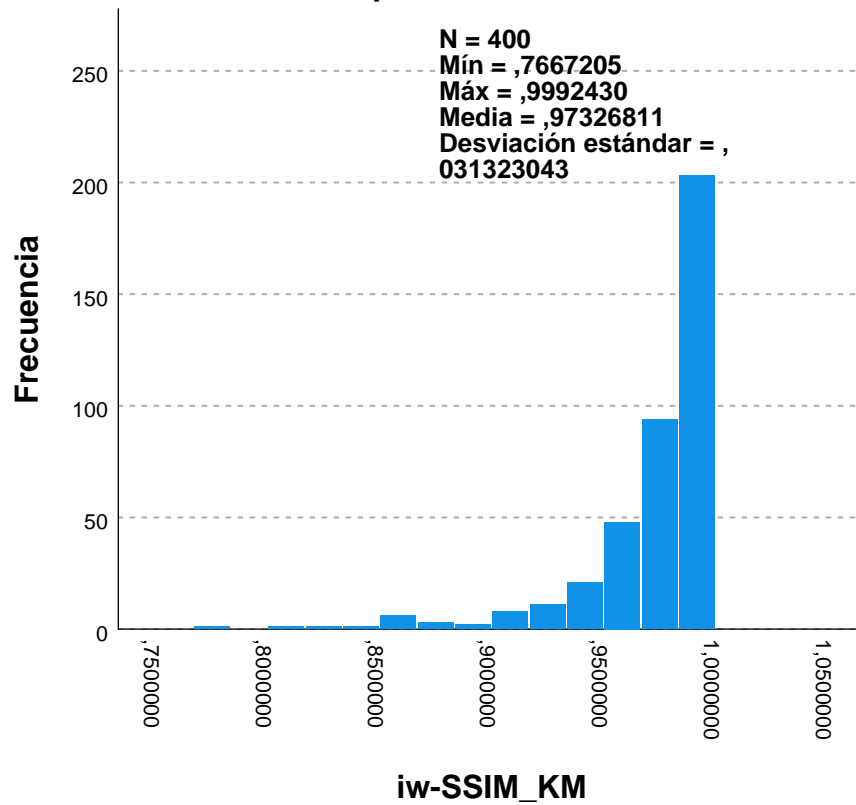


Cada nodo muestra en número de muestra de éxitos.

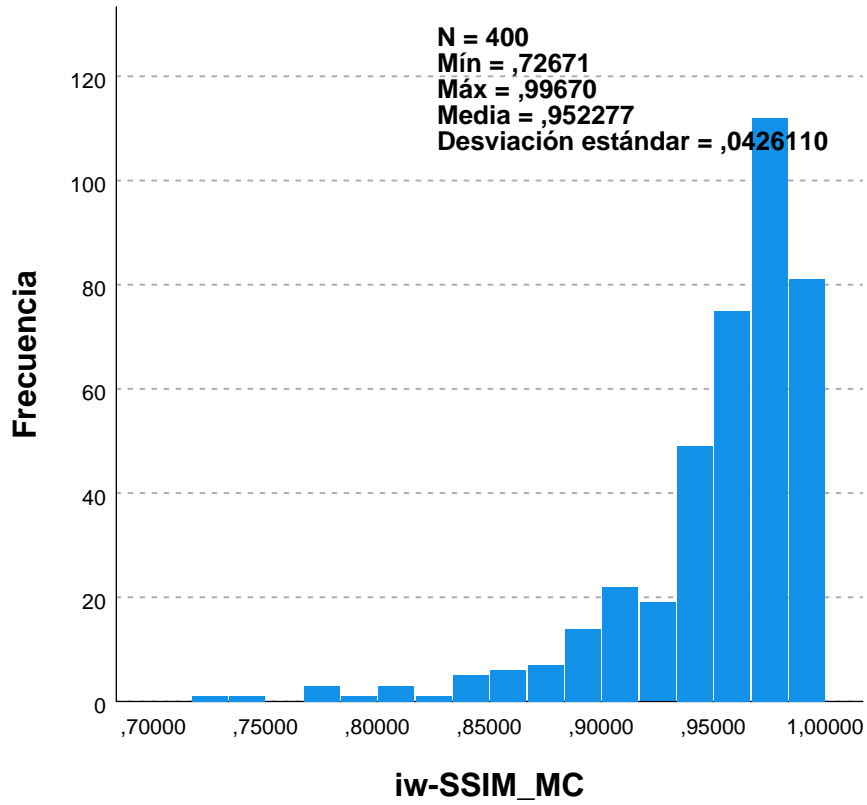
Información de campos continuos iw-SSIM_BS



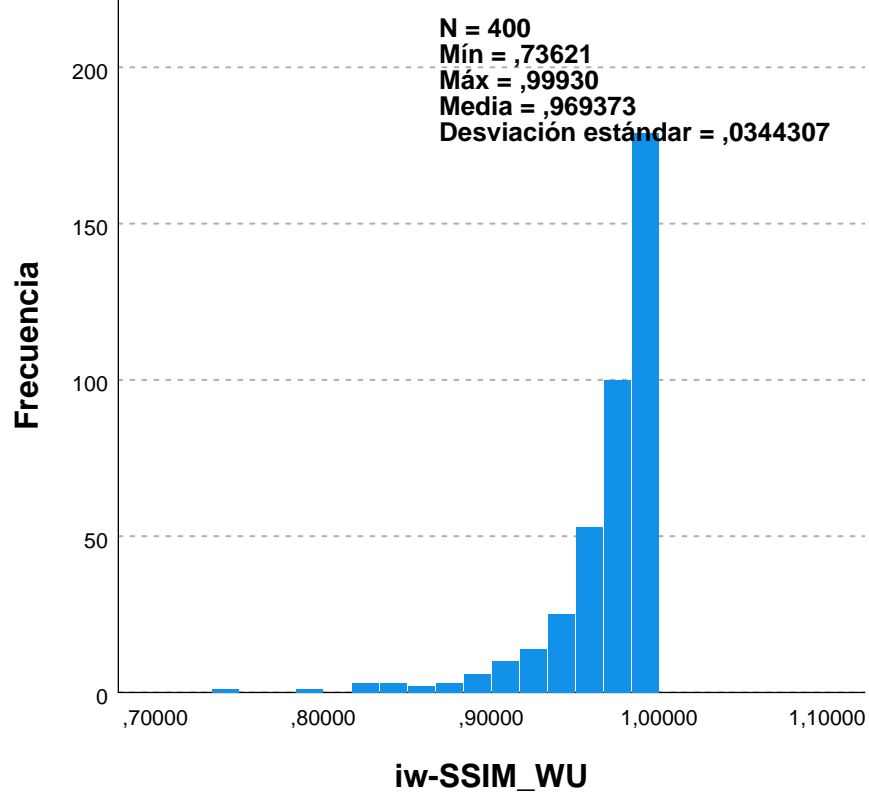
Información de campos continuos iw-SSIM_KM



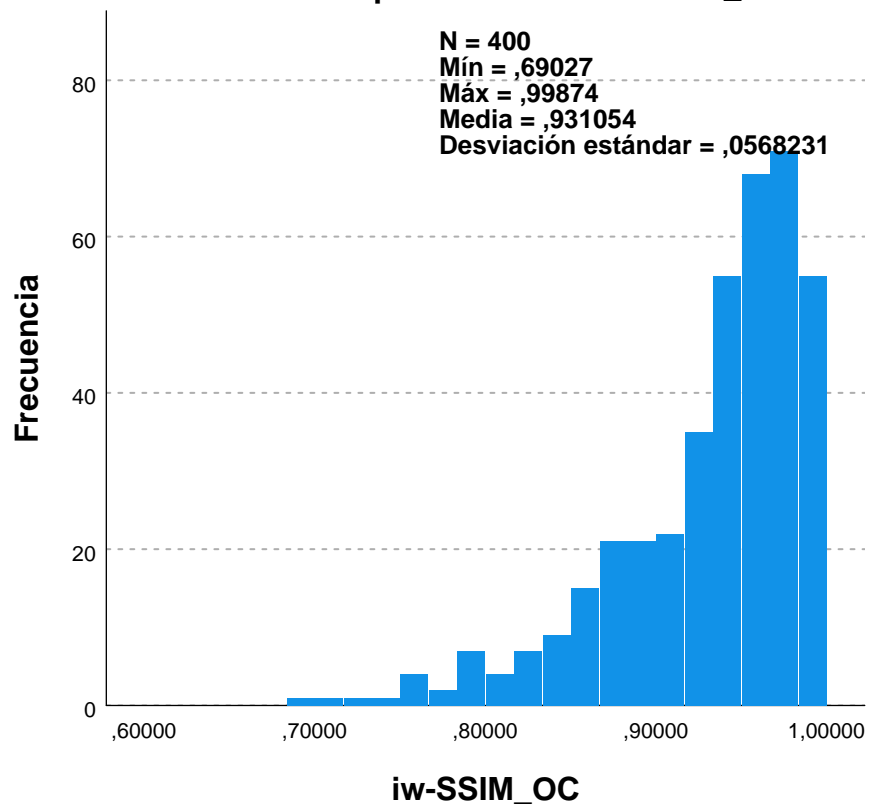
Información de campos continuos iw-SSIM_MC



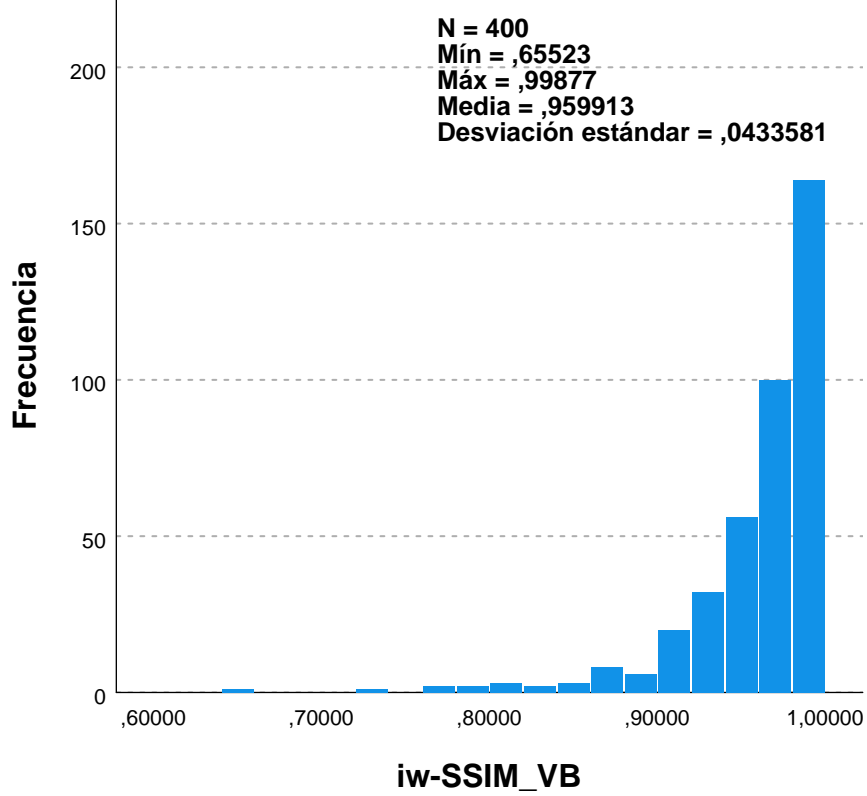
Información de campos continuos iw-SSIM_WU



Información de campos continuos iw-SSIM_OC



Información de campos continuos iw-SSIM_VB



Información de campos continuos iw-SSIM_NQ

